

1/27

Fig. 1

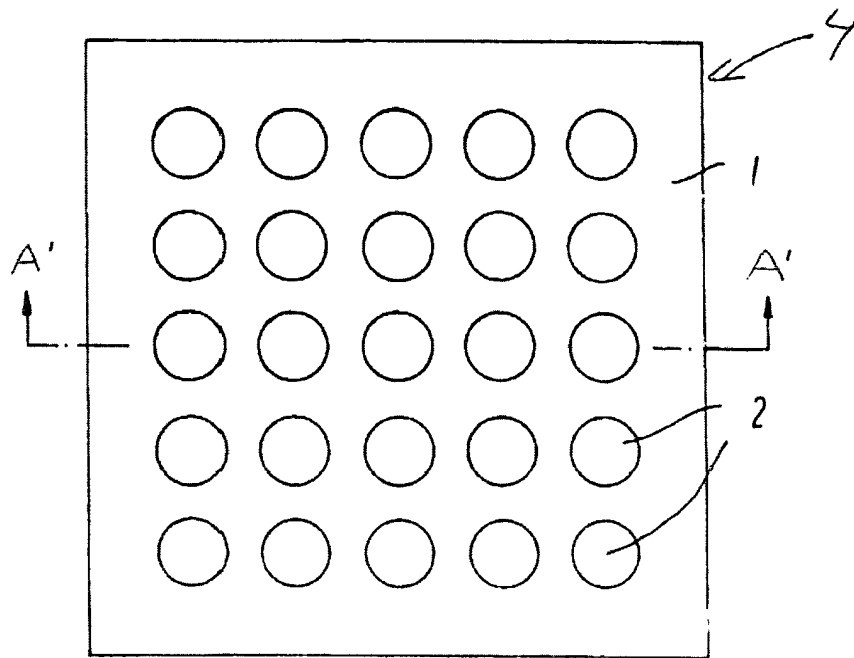
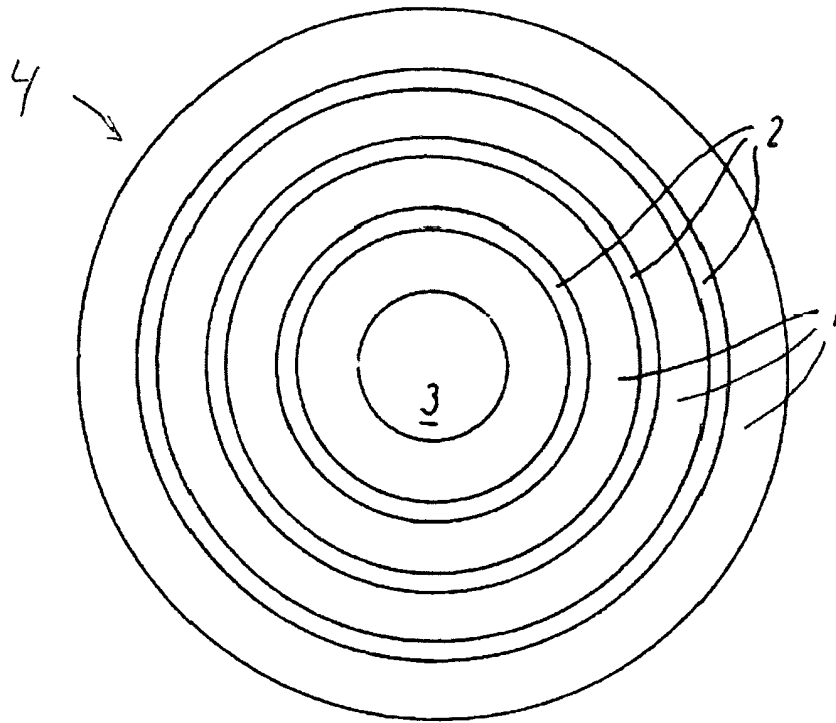


Fig. 1a



2/27

Fig. 2



3/27

Fig. 3

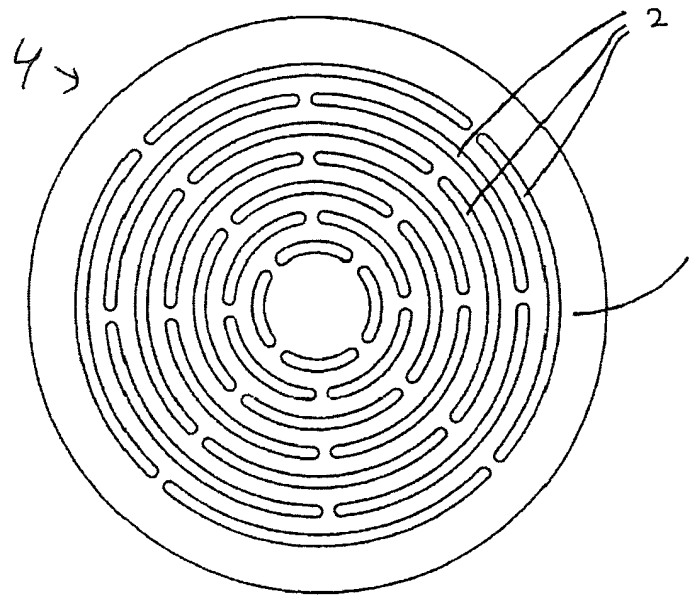
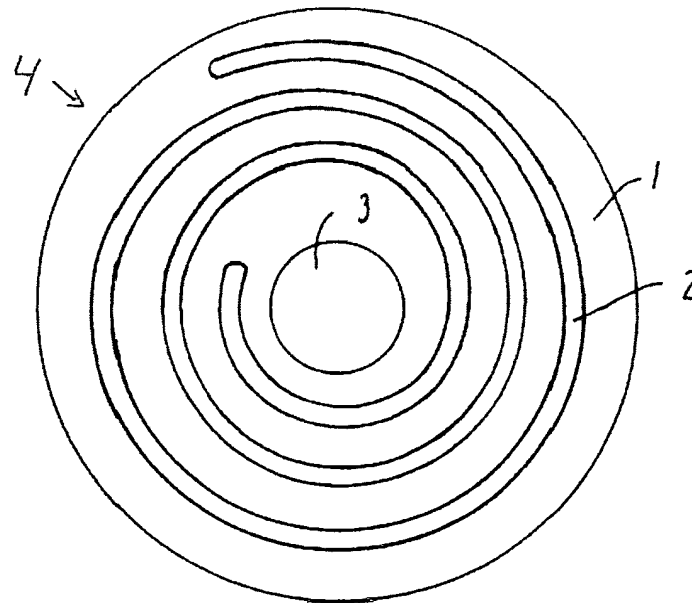
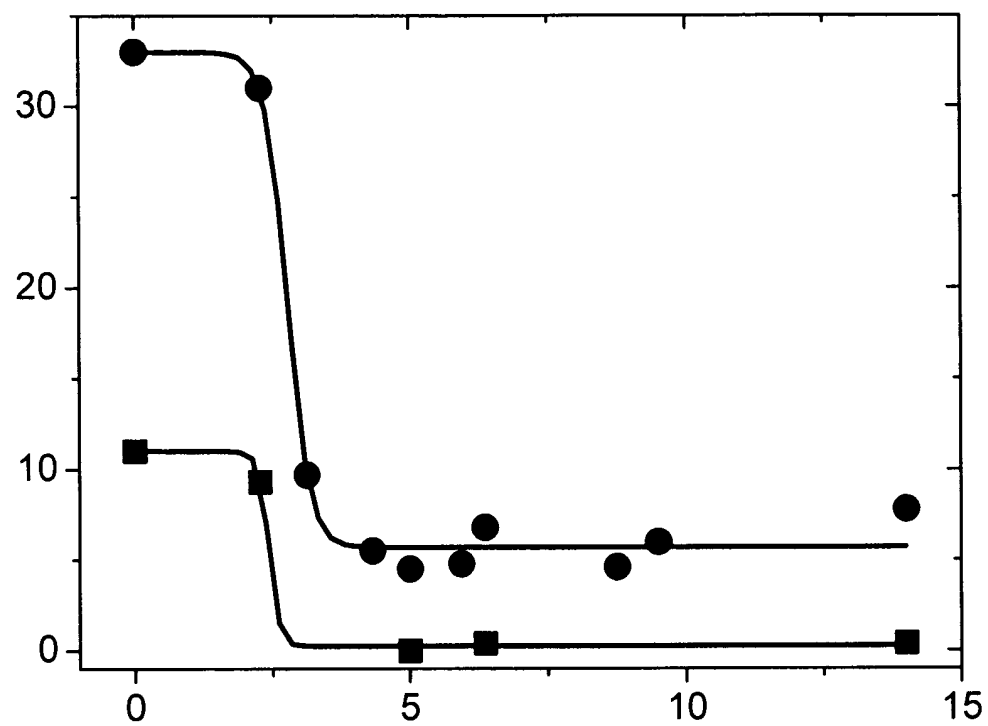


Fig. 4



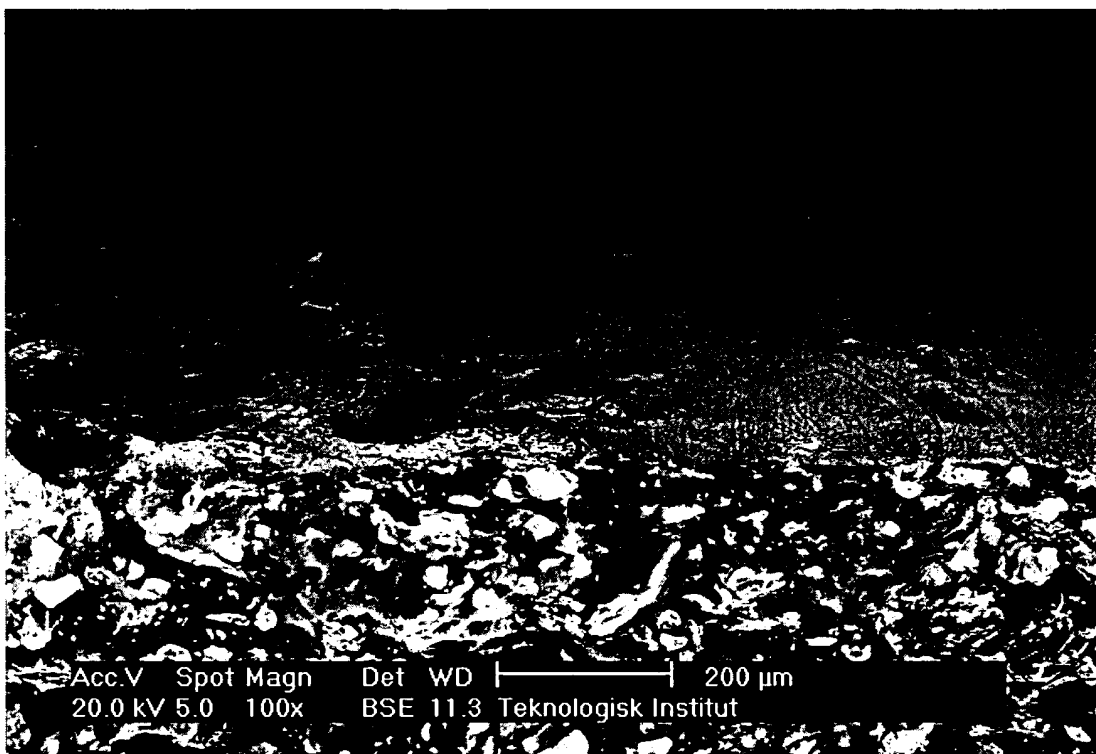
4/27

Fig.5



5/27

Fig. 6



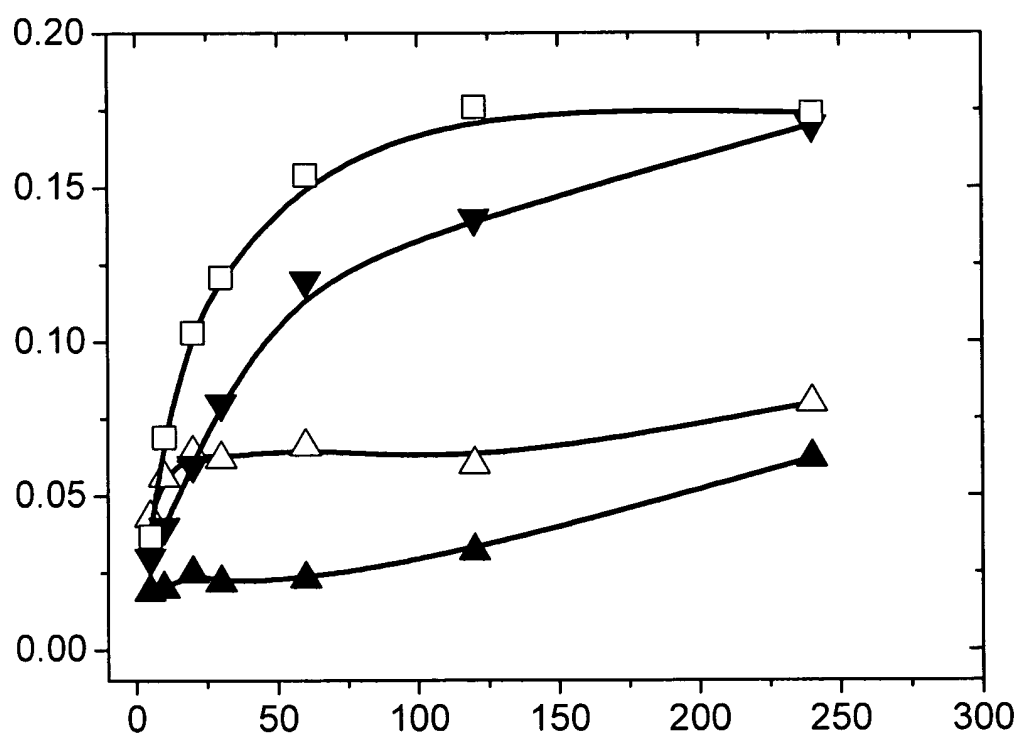
6/27

Fig. 7



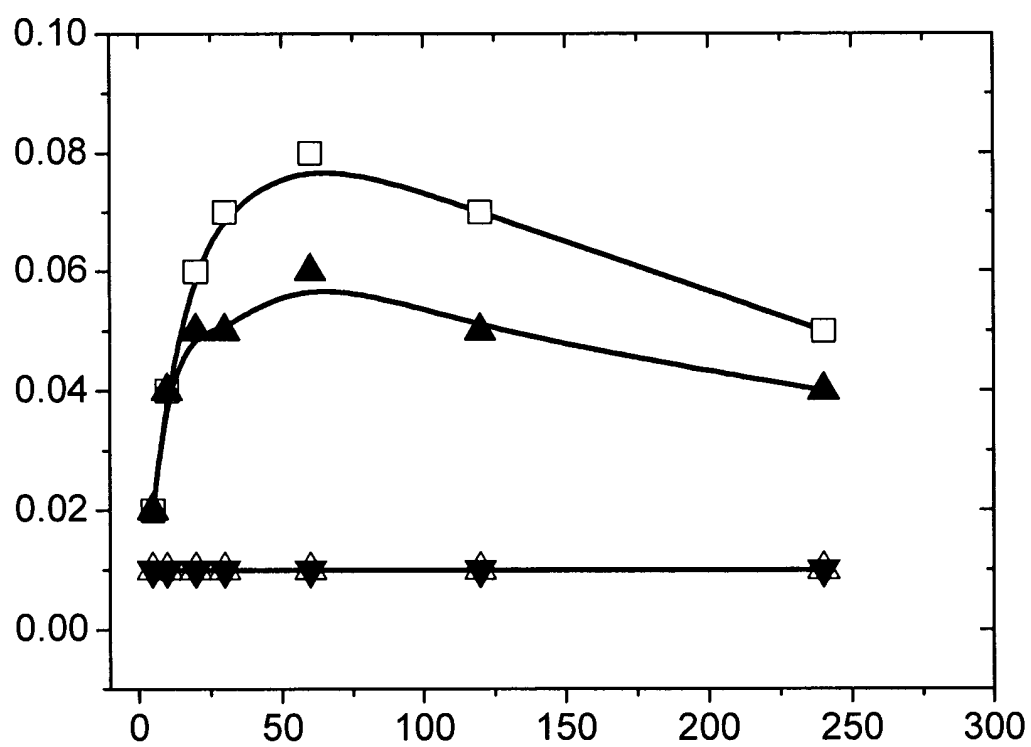
7/27

Fig. 8



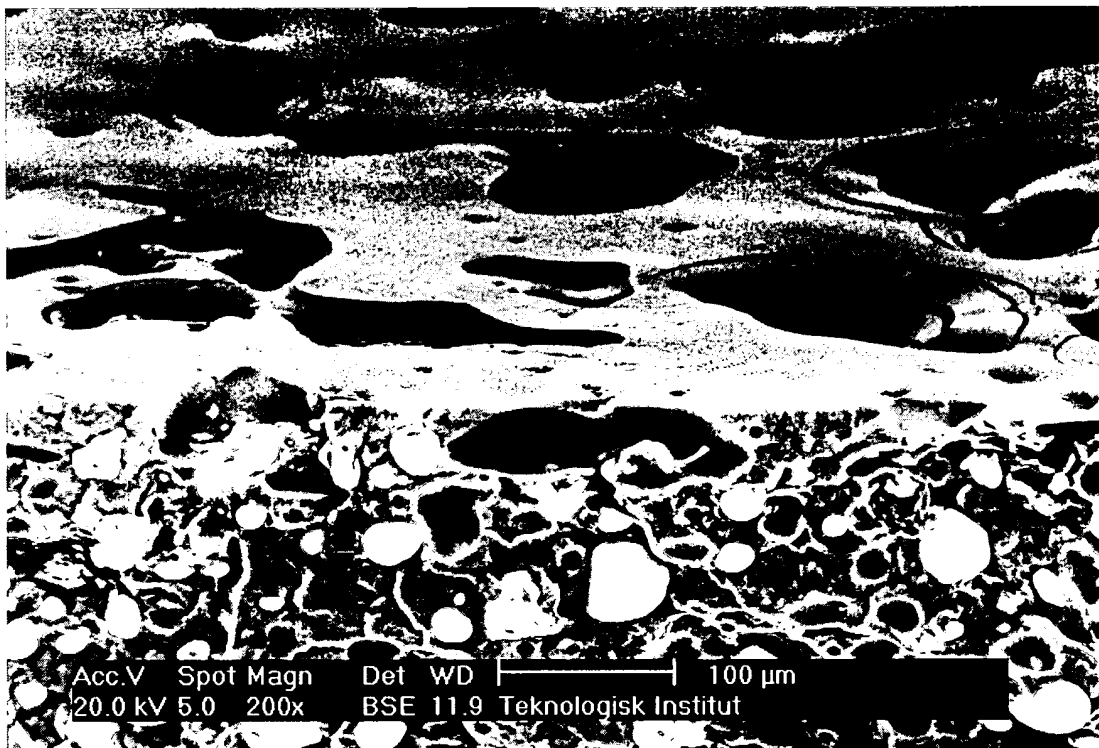
8/27

Fig. 9



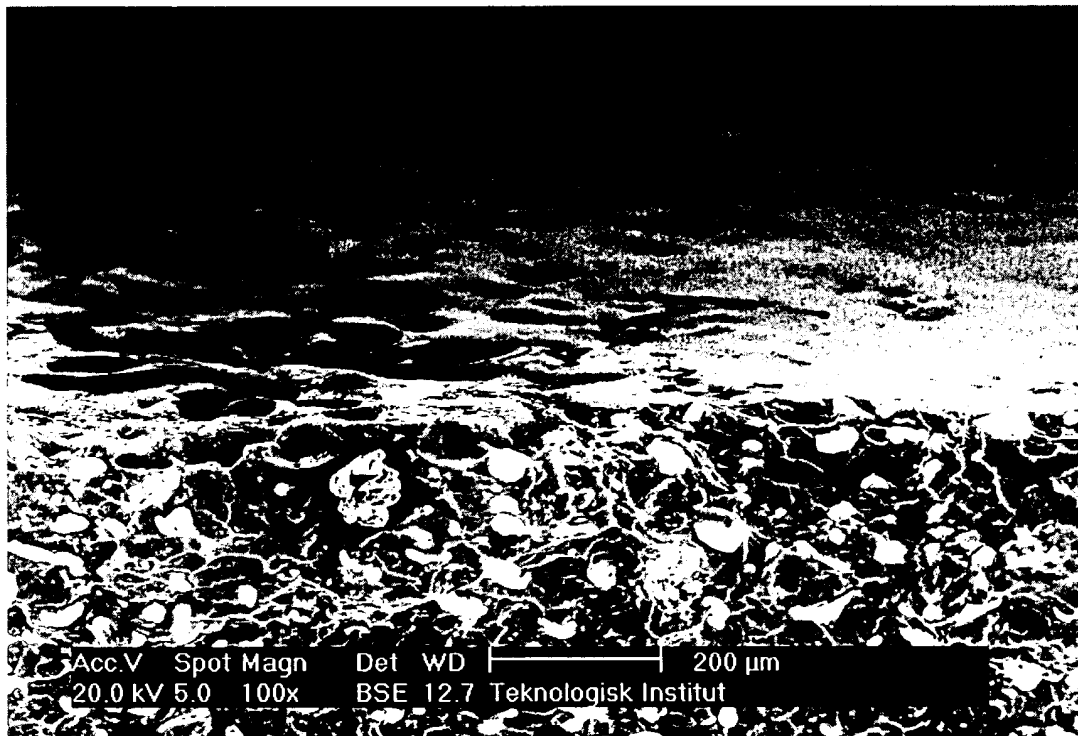
9/27

Fig. 10



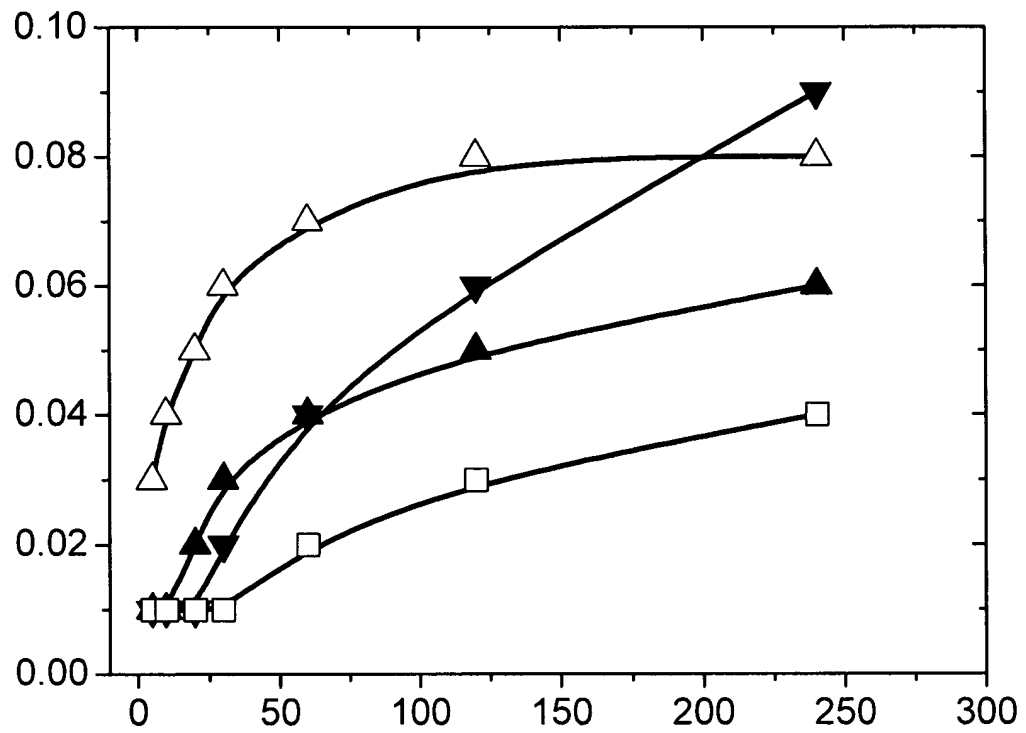
10/27

Fig. 11



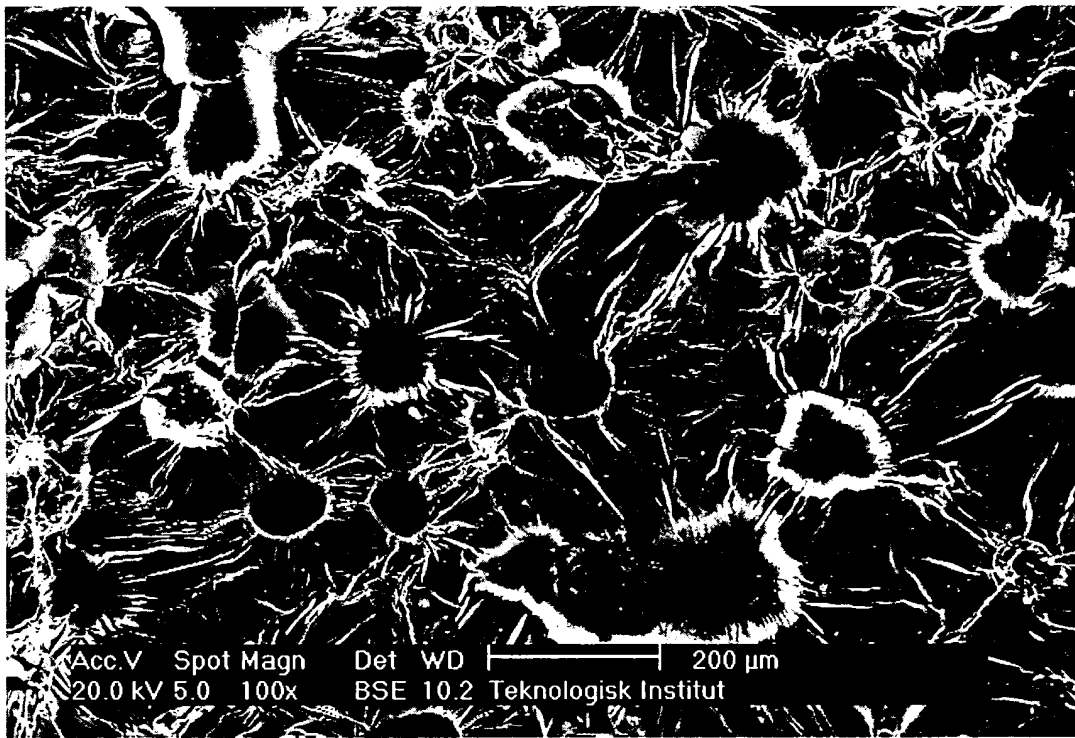
11/27

Fig. 12



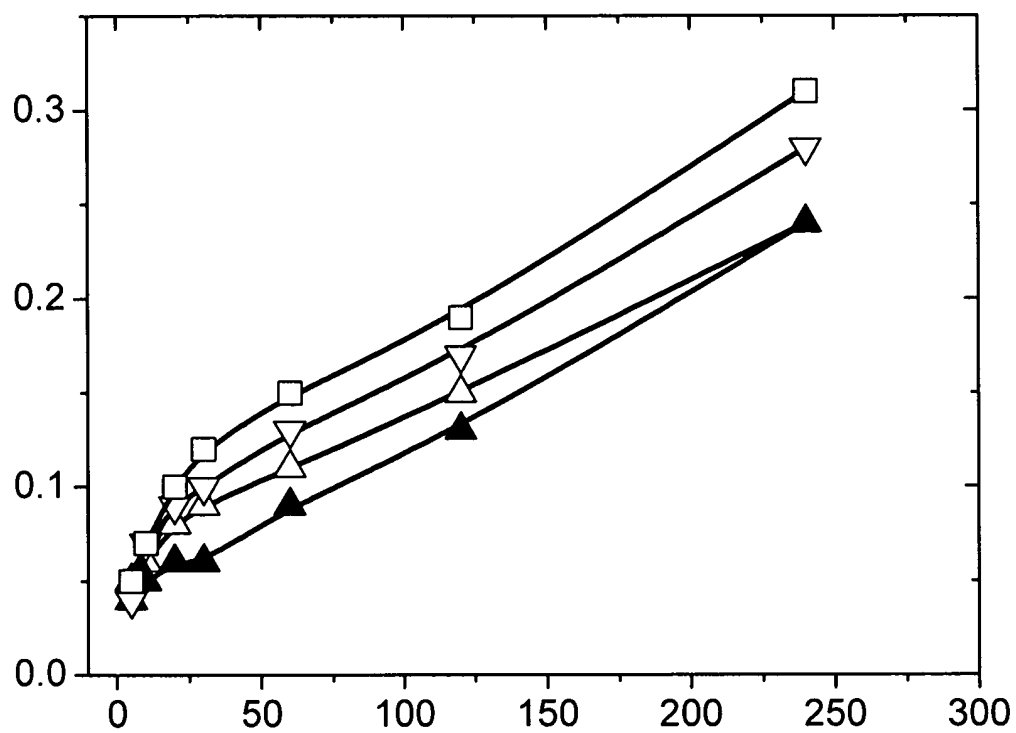
12/27

Fig. 13



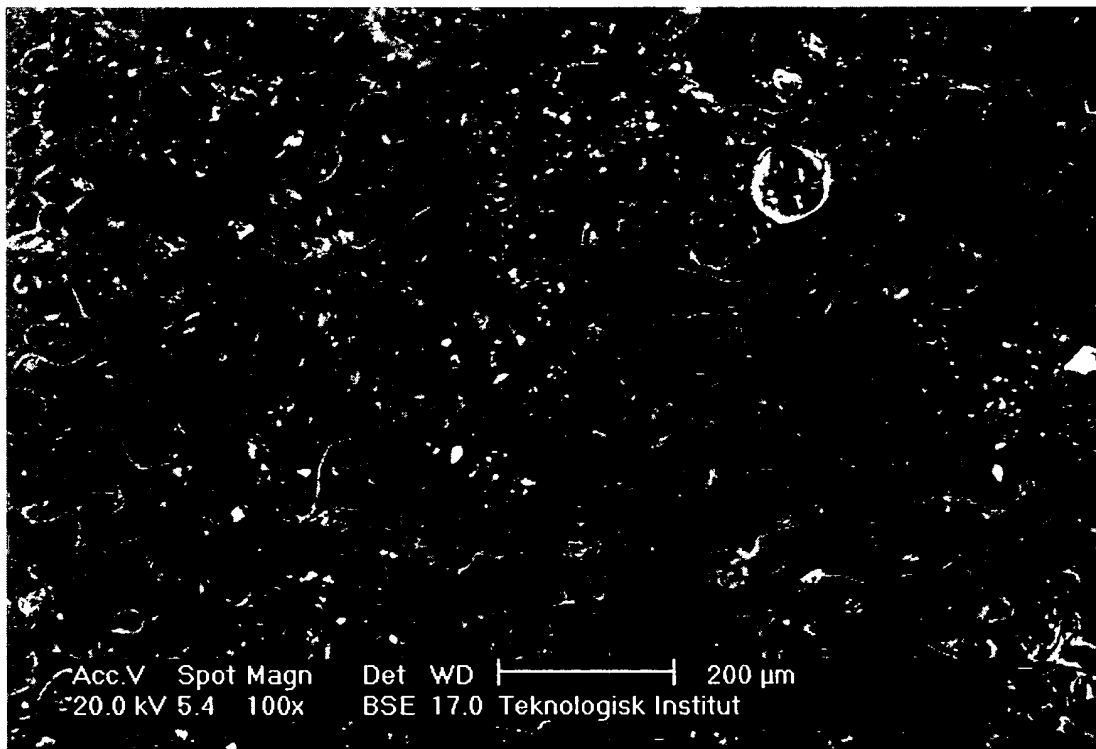
13/27

Fig. 14



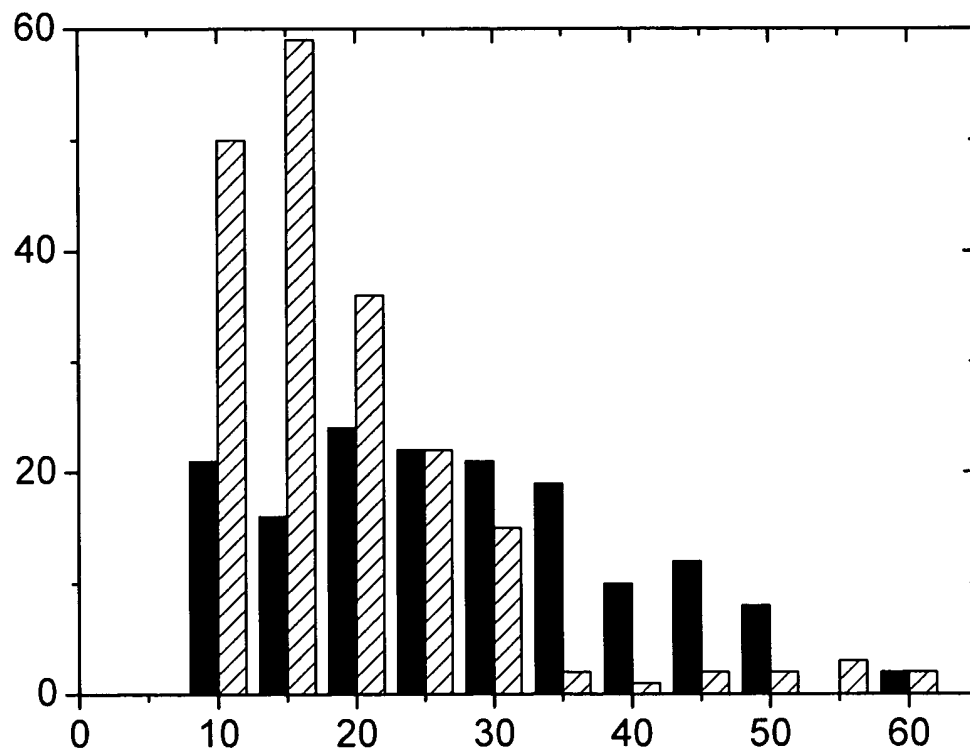
14/27

Fig. 15



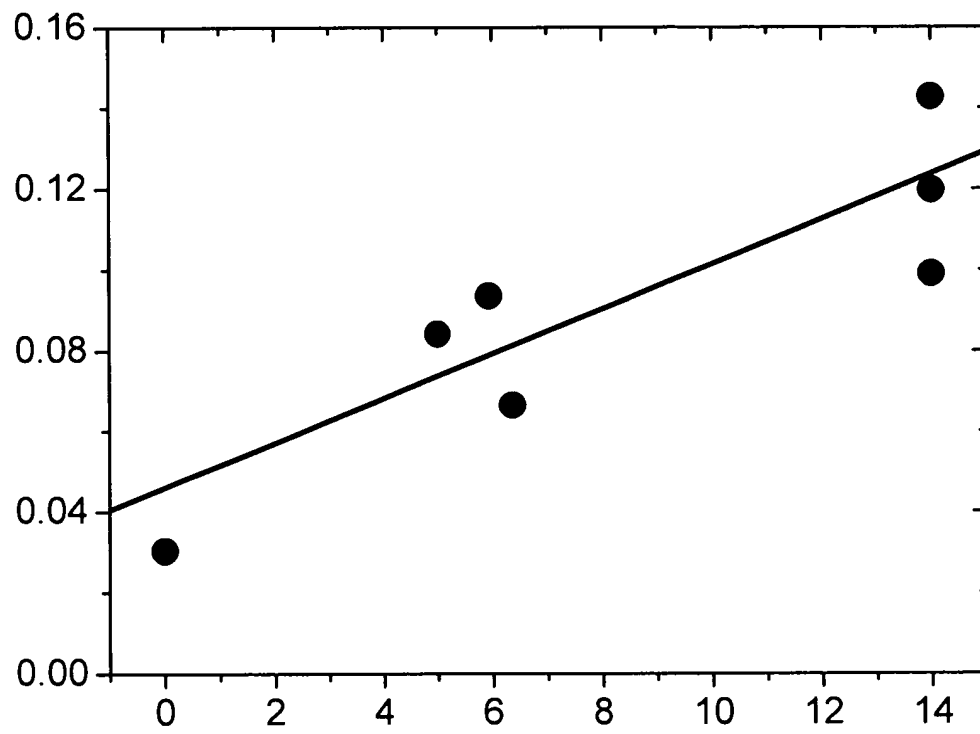
15/27

Fig. 16



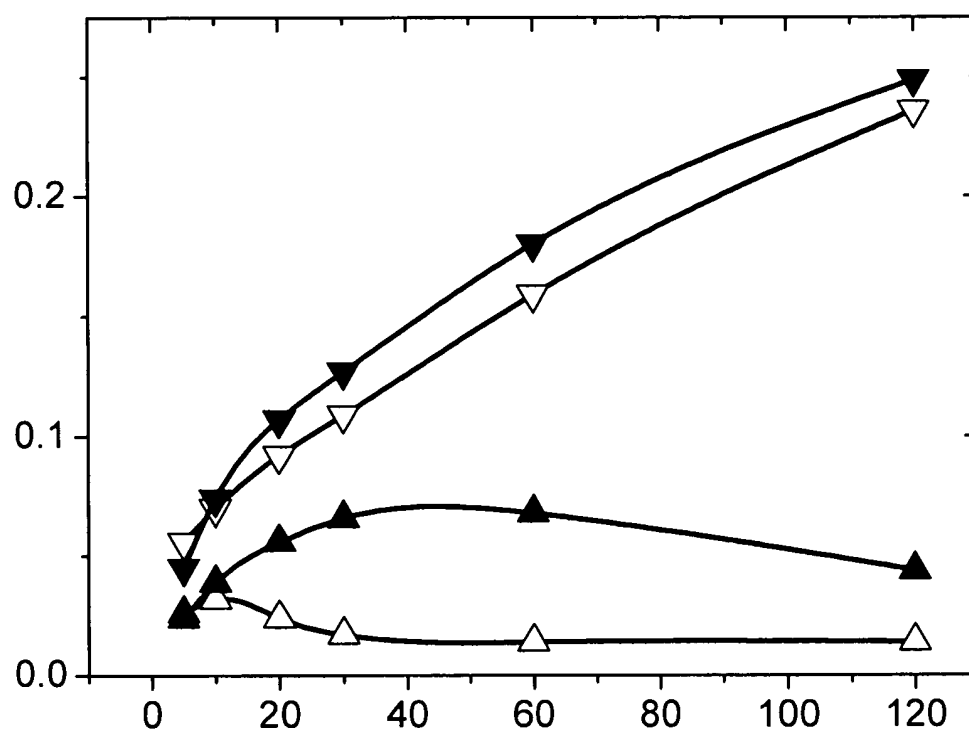
16/27

Fig. 17



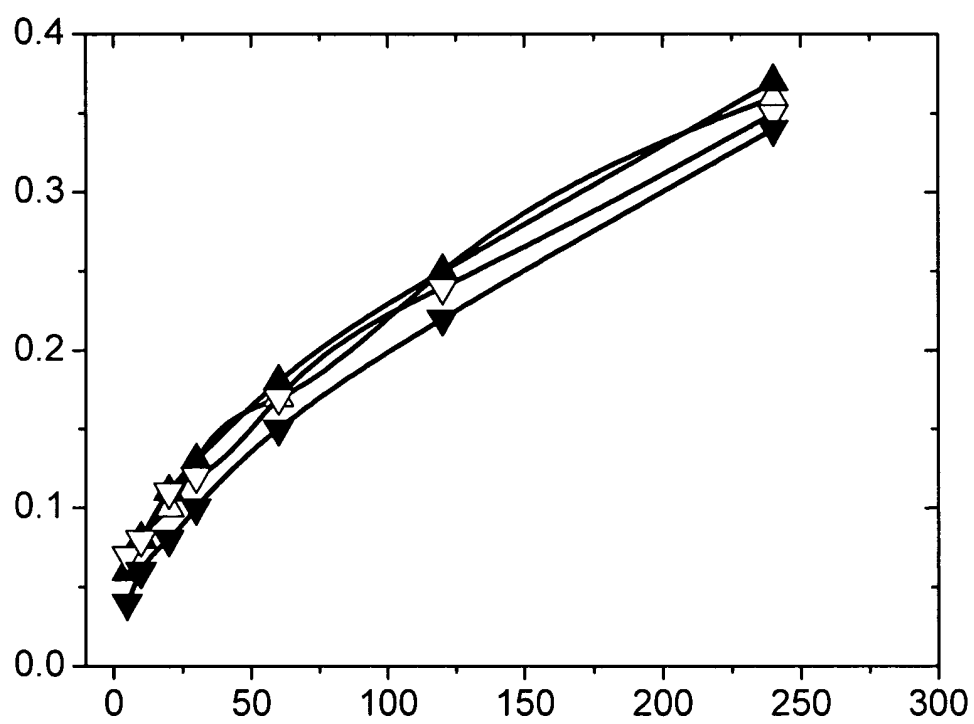
17/27

Fig. 18



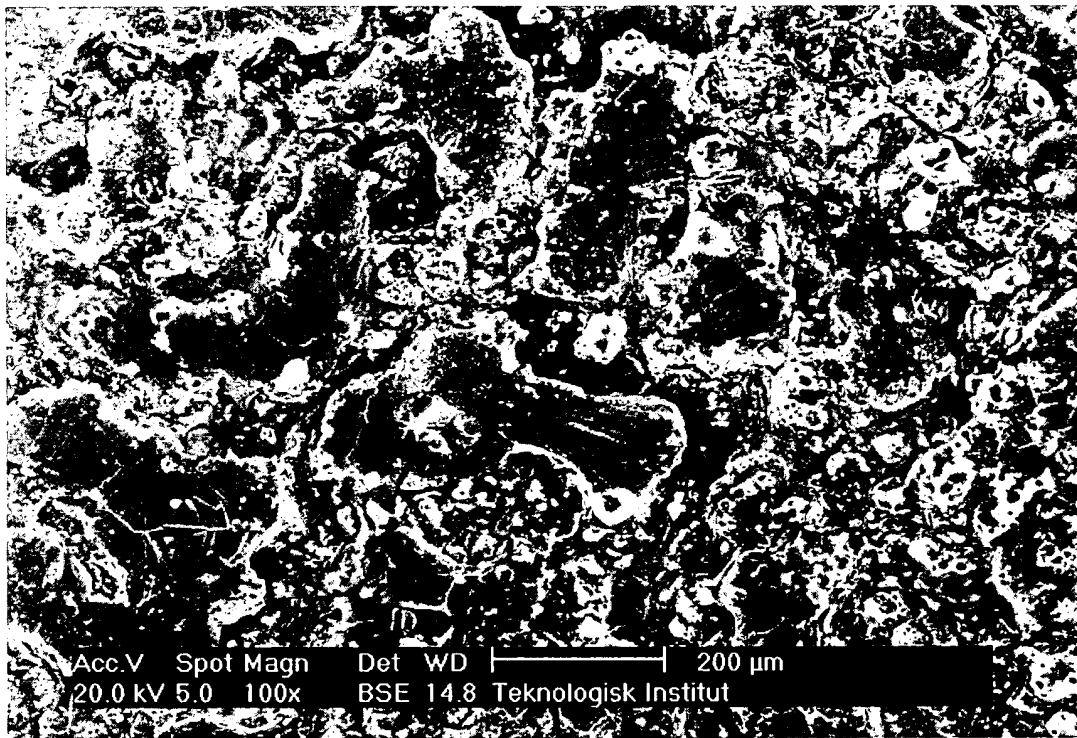
18/27

Fig. 19



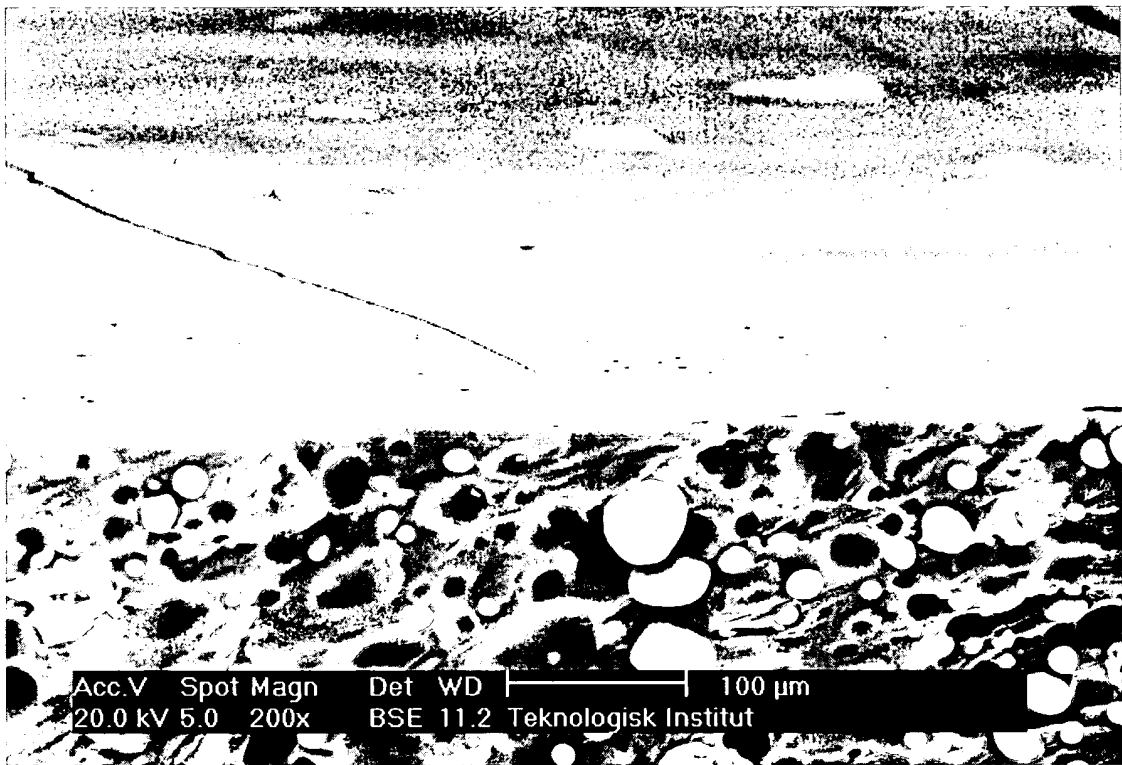
19/27

Fig. 20



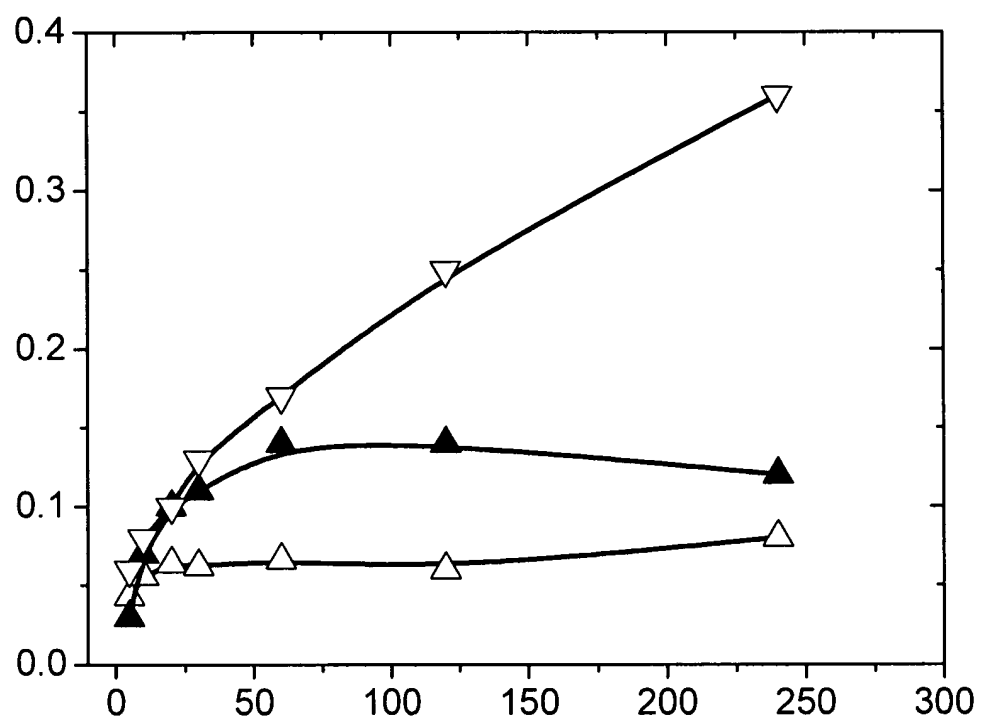
20/27

Fig. 21



21/27

Fig. 22



22/27

Fig. 23

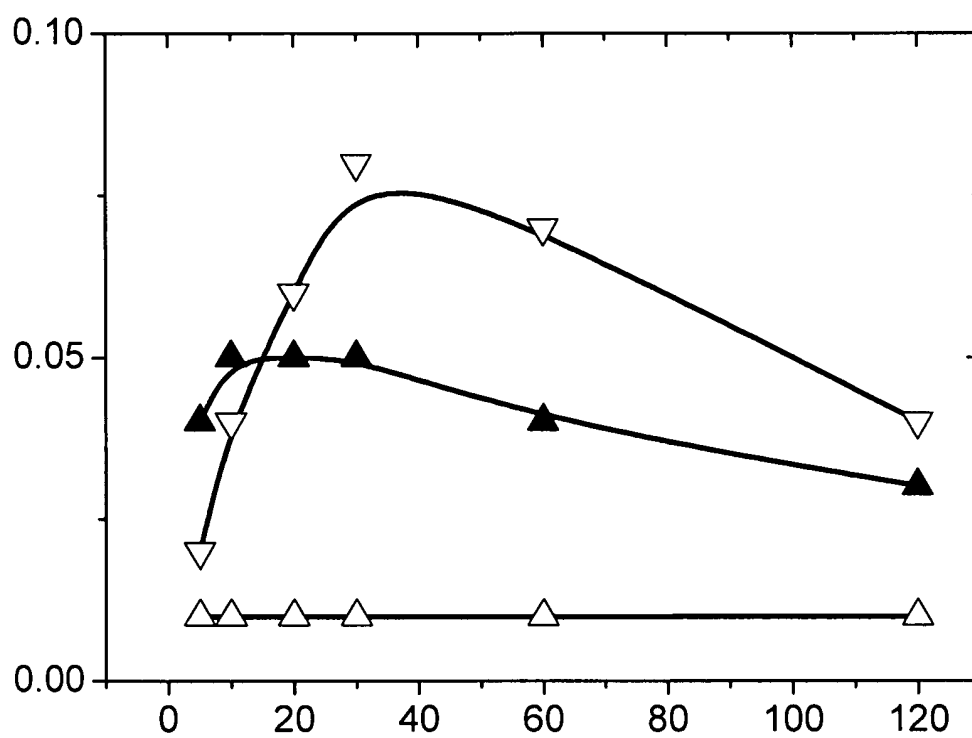
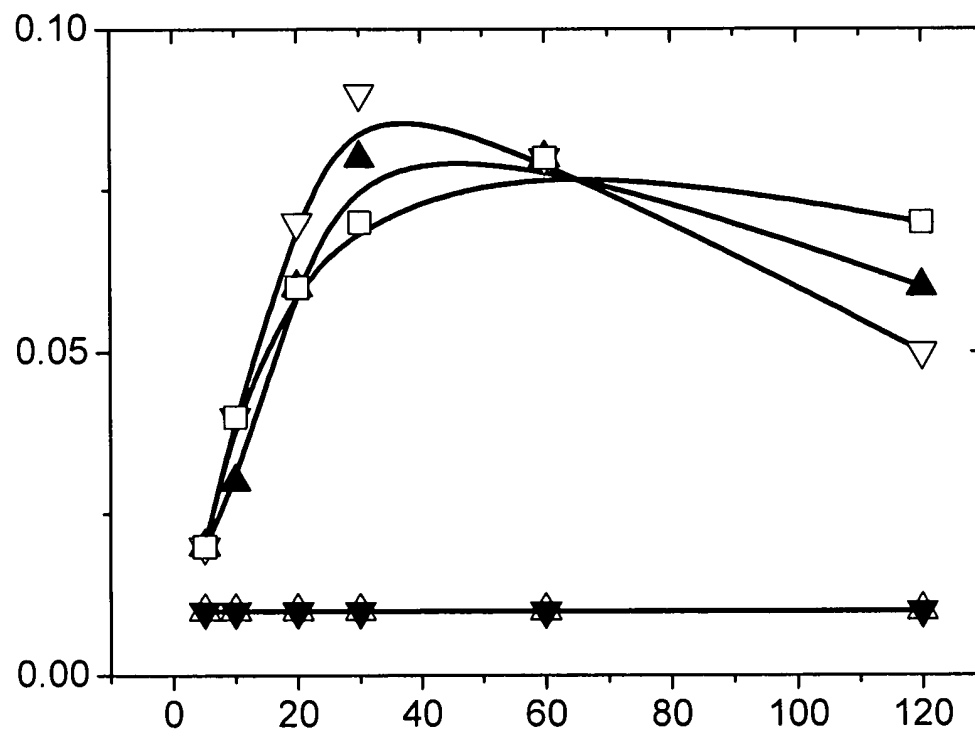
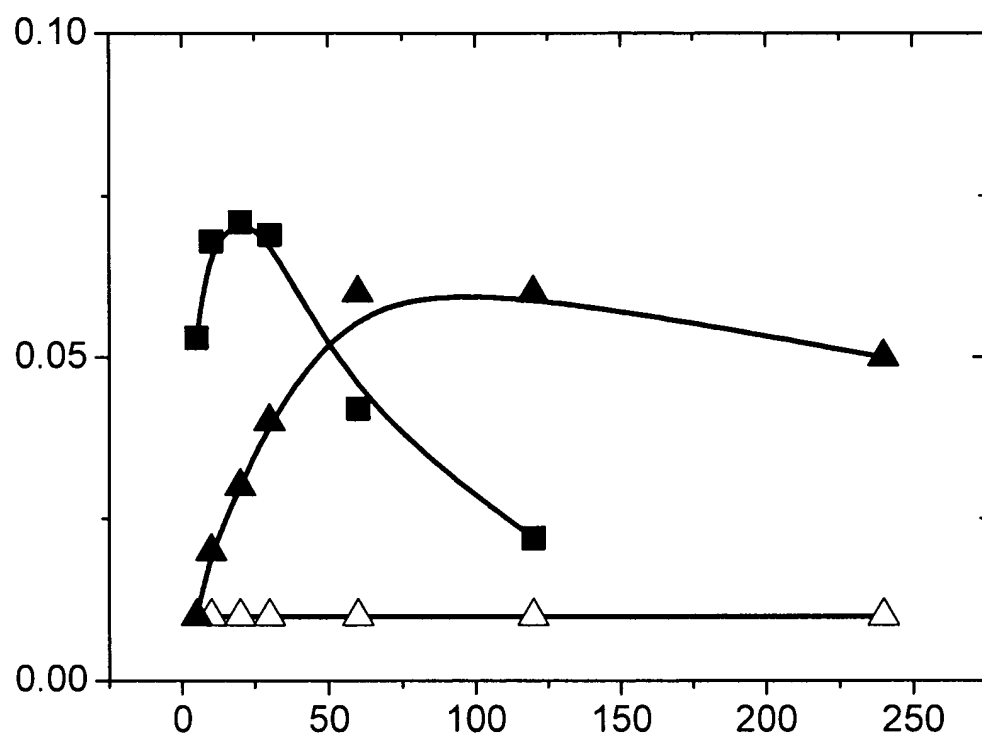


Fig. 24



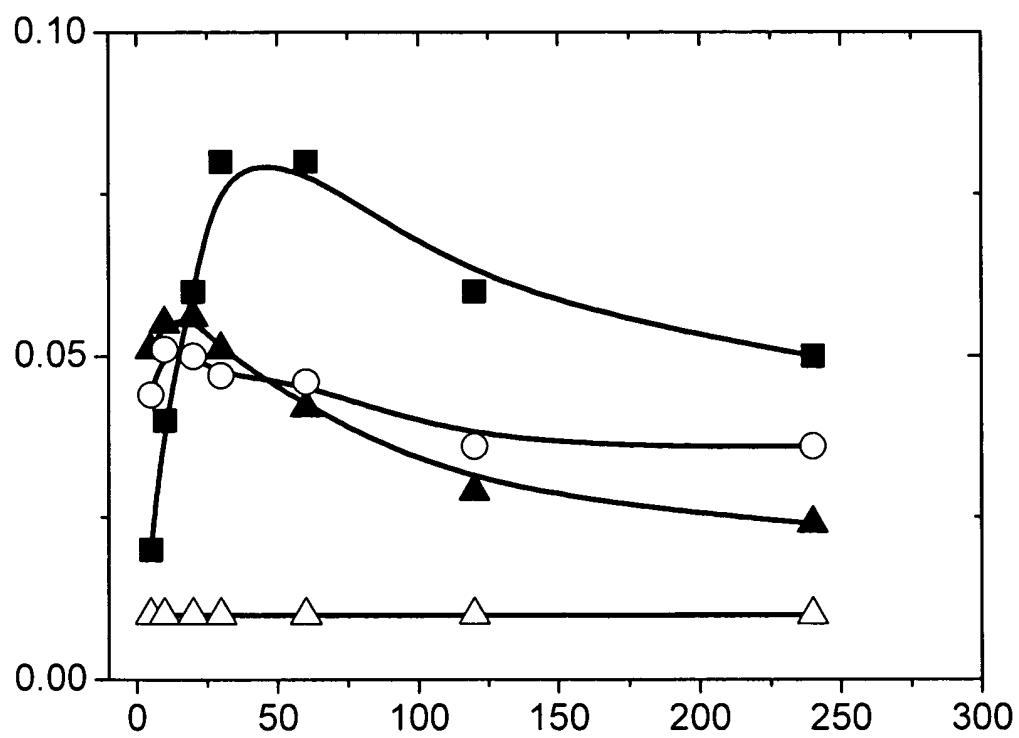
24/27

Fig. 25



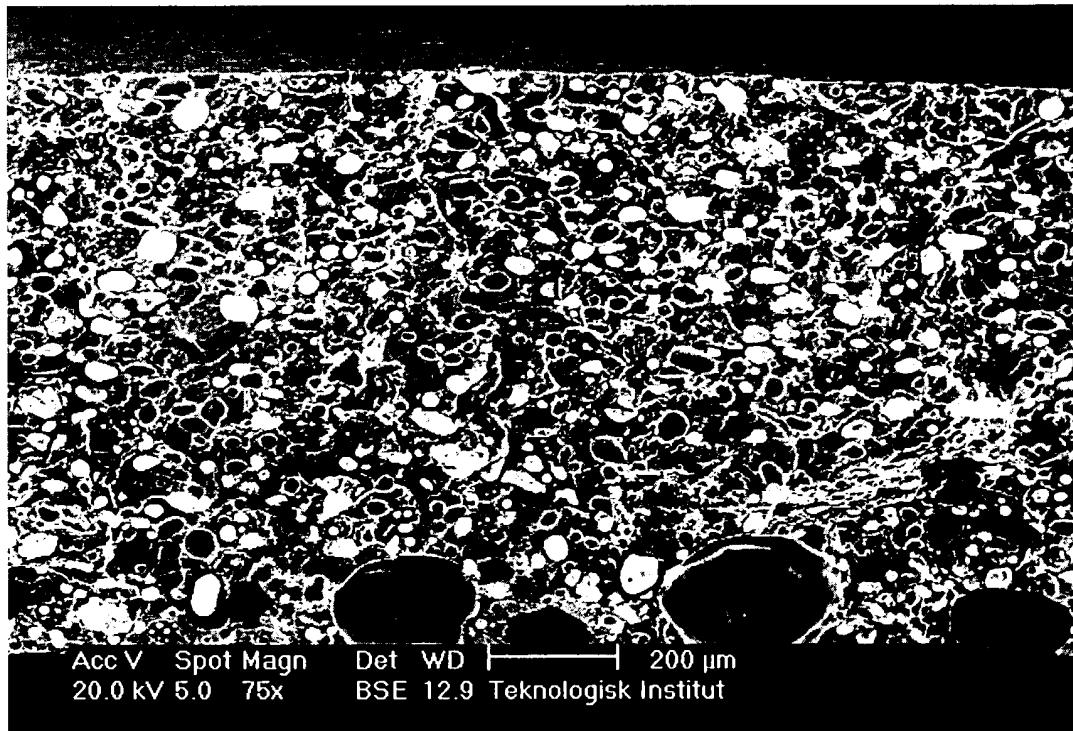
25/27

Fig. 26



26/27

Fig. 27



27/27

Fig. 28

